

Studio e implementazione di metodi di previsione dei guasti per politiche di scheduling in ambito Desktop Grid

Relatore
Dott. Massimo Canonico

Candidato
Guido Vicino

Laurea in Informatica dei Sistemi Avanzati e Servizi di Rete
Università del Piemonte Orientale
"Amedeo Avogadro"

Anno Accademico 2006/2007



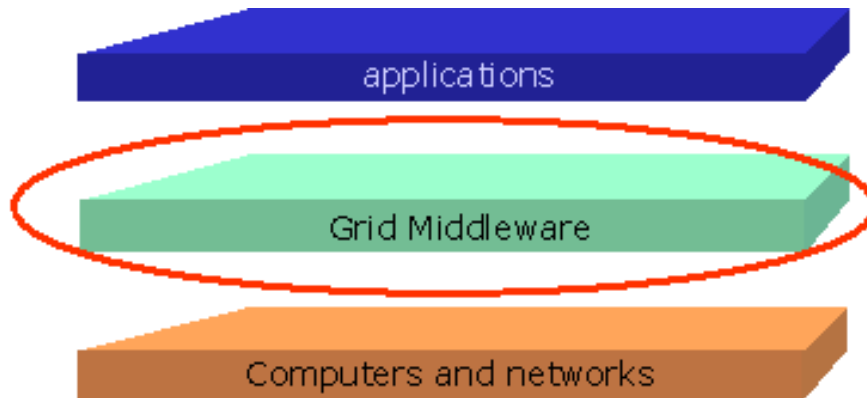
Introduzione

Grid Computing

- ▶ “Il *Grid Computing* (GC) è l’infrastruttura hardware e software che fornisce un accesso affidabile, consistente e pervasivo a grandi capacità computazionali” (Ian Foster e Carl Kesselman)
- ▶ “Il *Grid Computing* concerne la condivisione coordinata di risorse e la risoluzione di problemi in organizzazioni virtuali dinamiche e multi-istituzionali.” (Ian Foster e Carl Kesselman)
- ▶ Grande eterogeneità di tipologie di *risorse condivise*.
- ▶ La *Virtual Organization* (VO) come un insieme di individui e/o istituzioni che sono definite da regole comuni di condivisione delle risorse. Regole dinamiche nel tempo ed interne a ciascuna VO.



- ▶ Il *middleware* è uno strato software che si preoccupa di nascondere e gestire autonomamente i dettagli relativi alla molteplicità delle risorse, all'autenticazione, all'accesso ai calcolatori o relativi all'allocazione dei lavori, delle applicazioni ed al trasferimento dei dati.



Introduzione

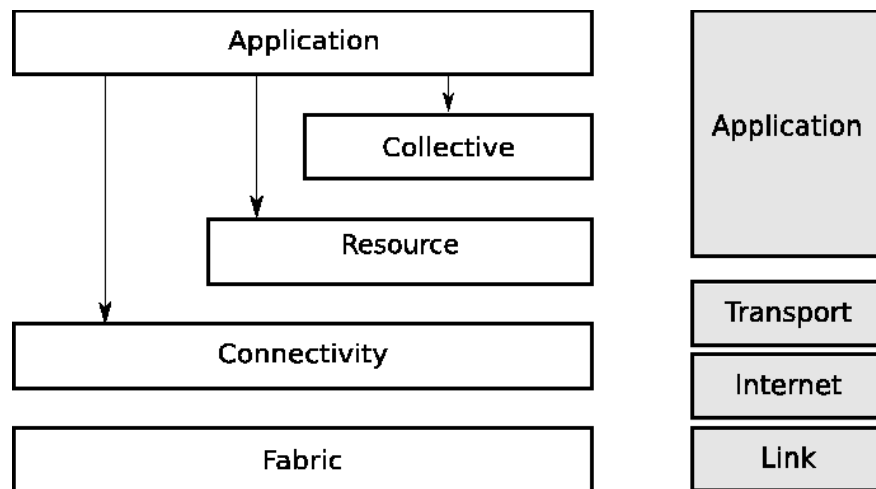
Storia del Grid Computing

- ▶ Il GC nasce nei primi anni '80 e '90 come estensione del "parallel computing" nel tentativo di collegare i vari centri di supercalcolo sparsi negli Stati Uniti.
- ▶ Nel 1995 nascono i due progetti più importanti di quelli che allora venivano chiamati *metacomputer*:
 - ▶ *Factoring via Network-Enable Recursion* (FAFNER)
 - ▶ *Information Wide Area Year* (IWAY)
- ▶ Nell'autunno del 1997 all'Argonne National Laboratory nasce il progetto *The Grid*, gestito da Ian Foster e Carl Kesselman.
- ▶ Contemporaneamente nascono *Globus* e *Legion* i primi sistemi software per Grid.
- ▶ In Europa nascono progetti analoghi quali *GridWay*, *GridLite* ed *Unicore*.
- ▶ Nascita dei primi gruppi di coordinamento fino all'attuale *Open Grid Forum* (OGF).
- ▶ *Service Oriented Architectures* (SOA) ed intenti futuri.



Introduzione

Architettura di una Grid



Anatomia di una Grid (I. Foster, C. Kesselman)



Introduzione

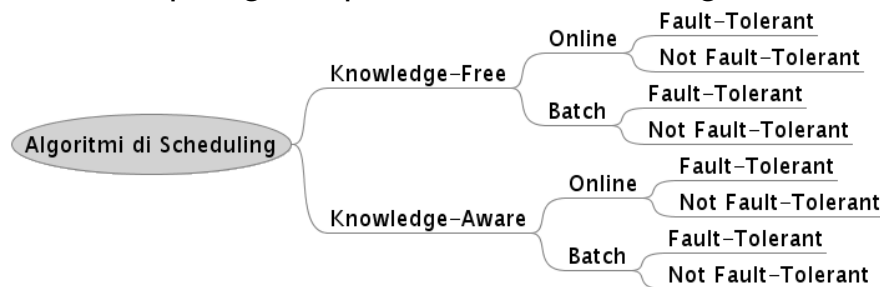
Applicazioni del Grid Computing

Esistono diverse applicazioni per il Grid Computing, ed è possibile distinguere tra due insiemi di queste:

- ▶ Distinzione tra
 - ▶ *Applicazioni Tradizionali*
 - ▶ *Applicazioni Grid-Enabled.*
- ▶ Ambiti applicativi:
 - ▶ Supercalcolo distribuito
 - ▶ Calcolo ad Alto Rendimento
 - ▶ Calcolo On-Demand
 - ▶ Calcolo Data-Intensive
 - ▶ Collaborative Computing



- ▶ Lo *Scheduling* mira a trovare una giusta allocazione dei lavori o *job* da eseguire dato un numero variabile di calcolatori disponibili all'interno di una VO.
- ▶ Problema dell'eterogeneità delle risorse.
- ▶ Diverse tipologie di politiche di scheduling.



Middleware classici

- ▶ Globus Toolkit Version 4
- ▶ Legion

Desktop Grid

- ▶ BOINC
- ▶ OurGrid
- ▶ Entropia
- ▶ XtremWeb



Predizione dell'affidabilità

Introduzione

- ▶ L'*affidabilità* è il rapporto tra i tempi di *uptime* e quelli di *downtime*.
- ▶ Un *predittore* dato un *insieme di misurazioni pregresse* sui tempi di uptime, determina una *previsione* sul prossimo tempo di guasto della macchina.
- ▶ Sono stati studiati i vari metodi di previsione in letteratura e si è deciso di implementare i seguenti quattro:
 - ▶ Predizione Lineare
 - ▶ Predizione tramite distribuzioni Weibull ed Iperesponenziali
 - ▶ Network Weather Service
 - ▶ Predittori Ibridi
- ▶ Ognuno prende in input n misurazioni e restituisce 1 previsione.



Predizione dell'affidabilità

Predizione Lineare

- ▶ La *predizione lineare* è un'operazione matematica dove i valori futuri di un segnale discreto sono stimati come funzione lineare dei campioni precedenti.
- ▶ La più comune rappresentazione è data da:

$$\tilde{s}_n = - \sum_{k=1}^p a_k s_{n-k}$$

- ▶ Questa tecnica ereditata dall'elettronica può essere utilizzata anche per predire il comportamento di guasto di una macchina.



Predizione dell'affidabilità

Predizione tramite distribuzioni Weibull ed Iperesponenziali

► Distribuzione Weibull

$$f_w(x) = \alpha\beta^{-\alpha} x^{\alpha-1} e^{-(x/\beta)^\alpha}$$

$$F_w(x) = 1 - e^{-(x/\beta)^\alpha}$$

► Distribuzione Iperesponenziale

$$f_H(x) = \sum_{i=1}^k p_i \lambda_i e^{-\lambda_i x}$$

$$F_H(x) = 1 - \sum_{i=1}^k p_i e^{-\lambda_i x}$$



Predizione dell'affidabilità

Network Weather Service

- Il *Network Weather Service* (NWS) è un sistema estensibile per la generazione dinamica di previsioni sulle prestazioni delle risorse negli ambienti di calcolo distribuito
- É composto da due elementi principali:
 - *Sensori*
 - *Predittori*
- Dispone di vari metodi di previsione:
 - Media (adattativo)
 - Mediana (adattativo)
 - Modelli autoregressivi
 - Sezione dinamica della previsione



- ▶ Ho diversi metodi di previsione, ma qual'è più accurato sulla macchina in esame?
- ▶ Siano dati N metodi di previsione e l'insieme delle m misurazioni totali rilevate sulla macchina *dataset*, con la grandezza di quest'ultimo $m \geq 20$, allora si procede in tal maniera:
 - 1 si divide *dataset* in due insiemi uguali, al primo insieme si darà il nome di *trainingset*, al secondo insieme il nome di *testingset*;
 - 2 si ottengono N valori predetti usando come misurazioni i valori all'interno di *trainingset*;
 - 3 viene scelta una previsione alla volta e si calcola il residuo rispetto ad ogni misurazione contenuta nell'insieme *testingSet* e si calcola l'*errore residuo medio*;
 - 4 si seleziona come "vincente" la previsione che ha ottenuto il *minimo errore residuo medio*;
 - 5 si calcola la previsione finale utilizzando il metodo di previsione vincente sopra tutto il *dataset*.



Implementazione dei metodi di previsione

Implementazione di politiche di scheduling knowledge-aware

Realizzazione di tre politiche di scheduling all'interno di OurGrid:

- 1 *chooseGuMpredUptime()*: assegna al task la macchina con maggiore affidabilità predetta;
- 2 *chooseGuMeffCpu()*: assegnare al task la macchina con il miglior:

$$EffCpu = clockrate * cploadpredetto$$

- 3 *myChooseGum()*: assegna al task la macchina con il miglior:

$$E_i = \alpha \frac{EffCpu_i}{\sum_{j=1}^n EffCpu_j} + \beta \frac{Uptime_i}{\sum_{j=1}^n Uptime_j} \quad \text{con } \alpha + \beta = 1$$



Implementazione dei metodi di previsione

Predittori dell'affidabilità

- ▶ Realizzazione di una libreria in Java per la previsione dell'affidabilità delle macchine chiamata *libPredictor*.
- ▶ Creazione di quattro predittori:
 - ▶ NwsPredictor
 - ▶ LinearPredictor
 - ▶ BrevikPredictor
 - ▶ HybridPredictor
- ▶ La libreria è progettata per essere:
 - ▶ *estensibile* tramite una ingegnerizzazione Object Oriented;
 - ▶ *veloce* tramite l'utilizzo di chiamate native utilizzando le *Java Native Interface* (JNI)



Implementazione dei metodi di previsione

Simulazione

- ▶ Per effettuare uno studio sui metodi di previsioni studiati ed implementati vi è il bisogno di strumenti di simulazione opportuni.
- ▶ Realizzazione di un *Simulatore ad eventi discreti* e di strumenti per:
 - ▶ generare un insieme di misurazioni pregresse tipiche di scenari Desktop Grid;
 - ▶ simulare lo scheduling di *Bag of Tasks* (BoT);
 - ▶ verificare ed ordinare i dati in fogli di calcolo.
- ▶ Il simulatore e gli strumenti di generazione ed analisi dei risultati sono stati scritti in Java e UNIX Shell Script.



Analisi dei risultati

Scenari di sperimentazione

Quattro tipologie di scenari di simulazione:

	<i>Bassa Affidabilità</i>	<i>Alta Affidabilità</i>
<i>Bassa Potenza Computazionale</i>	Scenario 2	Scenario 1
<i>Alta Potenza Computazionale</i>	Scenario 4	Scenario 3

Caratteristiche di ciascuno scenario:

Scenario	CpuPower	DispoVary	RepairTime
scenario1	$U(1, 2)$	$W(\alpha, \beta)$	300s
scenario2	$U(1, 2)$	$U(12000, 36000)$	3600s
scenario3	$N(5, 1.5)$	$W(\alpha, \beta)$	300s
scenario4	$N(5, 1.5)$	$U(3600, 10800)$	3600s



Analisi dei risultati

Confronto dell'accuratezza dei metodi di previsione (1)

Questo livello di analisi mira a determinare l'*accuratezza* dei vari metodi di previsione. Descriviamo in breve come si è proceduto:

- 1 Si sono generati tramite le distribuzioni scelte per ogni scenario diversi tempi di guasto:

<i># guasti generati</i>	20	100	300	500	700	1000
<i># minimo (20%)</i>	4	20	60	100	140	200

- 2 Si è usato il 20% di esse per generare la prima previsione p_m .
- 3 Si è confrontata p_m con il tempo di guasto f_{m+1} ricavandone un errore assoluto

$$ErrAss_m = p_m - f_{m+1}$$

ed un errore relativo

$$ErrRel_m = ErrAss_m / f_{m+1}$$

- 4 Si calcolano $ErrAss_m$ e $ErrRel_m$ incrementalmente fino ad ottenere $n - m$ predizioni.



Analisi dei risultati

Confronto dell'accuratezza dei metodi di previsione (2)

Si sono avuti i seguenti risultati:

- ▶ Mancanza di un metodo di previsione accurato in ambienti con macchine estremamente affidabili (Scenario 1 e 3).
- ▶ Mancanza di un incremento d'accuratezza rilevante con l'aumentare dello storico (anzi in 1 e 3 viceversa).
- ▶ L'utilizzo di distribuzioni Weibull o Iperesponenziali non si adattano meglio in scenari ad alta affidabilità.
- ▶ Negli scenari dove le macchine sono poco affidabili i migliori risultati sono dati da NWS e dal metodo di Previsione Ibrida con errori relativi medi da $0.23 \leq e_r \leq 0.25$.



Analisi dei risultati

Applicazione dei metodi di previsione nella schedulazione (1)

Si sono effettuate simulazioni utilizzando la *chooseGuMpredUptime()* per determinare se l'utilizzo di metodi di previsione dell'affidabilità portino un risparmio in *tempo di completamento medio dei task*. Si è proceduto in tal maniera:

- 1 Si sono generati tramite una $U(18000, 54000)$ i tempi di esecuzione di un singolo task considerata una macchina di potenza computazionale unitaria.
- 2 Per ogni scenario si sono sottomessi diversi gruppi di task variando il *Resource Rate* (RR) definito come:

$$RR = \frac{\text{NumeroDeiTask}}{\text{NumeroMacchineGrid}}$$

dove i gruppi sottomessi per ogni scenario sono i seguenti:

RR	0.3	0.5	0.7	1	3	5	7	10	20	50
Task	5	8	11	15	45	75	105	150	300	750

- 3 Si è confrontata la differenza tra il tempo totale della schedulazione per ogni metodo data la politica *chooseGuMpredUptime()* con quelli di una *Workqueue*.



I risultati ottenuti sono stati i seguenti:

- ▶ Negli scenari con macchine molto affidabili, la politica si dimostra pari ad una politica *knowledge-free*.
- ▶ Nello Scenario 2 caratterizzato da macchine poco affidabili e poco potenti l'utilizzo dei metodi di previsioni offre guadagni da 20.25 secondi fino a 420.96 secondi.
- ▶ Nello Scenario 4 caratterizzato da macchine poco affidabili, la politica si dimostra pari ad una politica *knowledge-free*.



Conclusioni

Sommario dei contributi

- ▶ Studio comparativo dei vari metodi di previsione
- ▶ Analisi dei vantaggi sull'uso di informazioni inerenti l'affidabilità delle macchine in politiche di scheduling *knowledge-aware*
- ▶ Creazione di un metodo di previsione ibrida
- ▶ Creazione di una libreria per la predizione dell'affidabilità



- ▶ Creazione di metodi di previsione a lungo termine
- ▶ Studio ed implementazione di politiche knowledge-aware miste
- ▶ Nuovi metodi di previsione ibrida
- ▶ Estensione e miglioramento della libreria di previsione



Tabelle dei risultati

Accuratezza delle previsioni per lo Scenario 1

	Nws	Linear	Brevik	Hybrid
20				
ErrAss	808202499.02	574856150.81	521831017.17	808202499.02
ErrRel	0.99	1.28	0.98	0.99
100				
ErrAss	406581601	621703885.56	281702702.7	294782926.31
ErrRel	0.98	1.86	0.99	0.99
300				
ErrAss	526394654.5	937252710.37	306085941.52	313152173.68
ErrRel	1.28	2.15	0.99	0.99
500				
ErrAss	607490392.43	817293966.52	335201062.2	338361999.63
ErrRel	1.32	1.98	0.99	0.99
700				
ErrAss	630661531.62	955426047.16	326669786.35	337237755.04
ErrRel	1.33	2.33	0.99	0.99
1000				
ErrAss	534305620.01	876669838.43	327093354.53	328661286.48
ErrRel	1.48	2.43	0.99	0.99



Tabelle dei risultati

Accuratezza delle previsioni per lo Scenario 2

	Nws	Linear	Brevik	Hybrid
20				
Errore assoluto	6728.14	6938.28	10119.49	7775.47
Errore relativo	0.25	0.32	0.44	0.28
100				
Errore assoluto	6341.17	7092.2	10594.69	6821.65
Errore relativo	0.25	0.29	0.44	0.28
300				
Errore assoluto	6023.48	6651.45	10438.16	6470.42
Errore relativo	0.24	0.28	0.44	0.25
500				
Errore assoluto	5789.78	6585.18	10281.06	6276.15
Errore relativo	0.23	0.27	0.43	0.26
700				
Errore assoluto	5968.03	6632.72	10286.47	6342.58
Errore relativo	0.24	0.28	0.43	0.26
1000				
Errore assoluto	5892.86	6617.63	10243.02	6287.41
Errore relativo	0.23	0.27	0.43	0.25



Tabelle dei risultati

Accuratezza delle previsioni per lo Scenario 3

	Nws	Linear	Brevik	Hybrid
20				
Errore assoluto	458700245.8	620880076.72	451858602.97	358504933.53
Errore relativo	0.91	1.32	0.96	0.99
100				
Errore assoluto	499756987.92	1016734981.81	285474367.88	316649595.35
Errore relativo	0.9	1.79	0.99	0.99
300				
Errore assoluto	558753408.89	904149554.53	346749119.55	346749119.55
Errore relativo	1.16	2.08	0.99	0.99
500				
Errore assoluto	663455234.24	1165517147.36	345333949.14	364751695.99
Errore relativo	1.43	2.45	0.99	0.99
700				
Errore assoluto	624534634.13	917809123.51	337200030.28	337765089.17
Errore relativo	1.69	2.46	0.99	0.99
1000				
Errore assoluto	547913664.45	754048285.57	245071435.46	249137946.47
Errore relativo	1.51	2.33	0.99	0.99



Tabelle dei risultati

Accuratezza delle previsioni per lo Scenario 4

	Nws	Linear	Brevik	Hybrid
20				
Errore assoluto	1979.97	2018.61	2973.76	2279.48
Errore relativo	0.26	0.3	0.44	0.33
100				
Errore assoluto	1835.16	2021.84	3141.14	1999.09
Errore relativo	0.24	0.27	0.43	0.28
300				
Errore assoluto	1802.96	2011.88	3005.44	1934.69
Errore relativo	0.24	0.27	0.43	0.25
500				
Errore assoluto	1818.88	1908.83	3042.72	1883.53
Errore relativo	0.24	0.27	0.43	0.25
700				
Errore assoluto	1826.71	2004.46	3031.17	1934.63
Errore relativo	0.24	0.27	0.43	0.26
1000				
Errore assoluto	1750.43	1983.44	3019.45	1880.89
Errore relativo	0.24	0.27	0.44	0.26



Tabelle dei risultati

Tempi di completamento relativi ad una Workqueue nello Scenario 1

RR	Task	Nws	Linear	Brevik	Hybrid
0.3	5	-1.63	-1.65	-1.63	-1.63
0.5	8	0	-0.77	0	0
0.7	11	-1.5	-1.57	-1.5	-1.5
1	15	-3.03	-3.41	-3.03	-3.03
3	45	3.02	3.02	3.02	3.02
5	75	-1.78	-1.4	-1.74	-1.74
7	105	-1.74	-1.65	-1.76	-1.76
10	150	-3.16	-3.06	-3.11	-3.11
20	300	-5.01	-4.91	-5.04	-5.04
50	750	2.41	2.41	2.41	2.41



Tabelle dei risultati

Tempi di completamento relativi ad una Workqueue nello Scenario 2

RR	Task	Nws	Linear	Brevik	Hybrid
RR	Lavori	Nws Ass.	Linear Ass.	Brevik Ass.	Hybrid Ass.
0.3	5	337.39	337.39	338.53	337.39
0.5	8	31.4	33.22	20.25	35.24
0.7	11	260.26	256.92	261.17	246.24
1	15	37.17	52.98	55.63	48.41
3	45	81.26	111.35	109.03	113.73
5	75	351.89	420.96	415.76	385.99
7	105	97.38	102.48	95.56	146.84
10	150	323.65	306.51	305.22	307.94
20	300	145.86	80.07	48.21	30.67
50	750	255.84	288.77	240.7	289.49



Tabelle dei risultati

Tempi di completamento relativi ad una Workqueue nello Scenario 3

RR	Task	Nws	Linear	Brevik	Hybrid
RR	Lavori	Nws Ass.	Linear Ass.	Brevik Ass.	Hybrid Ass.
0.3	5	-1.6	0	0.21	0.21
0.5	8	1.18	2.35	2.35	2.35
0.7	11	-1.52	-0.88	-0.88	-0.88
1	15	-1.58	-0.24	-0.24	-0.24
3	45	0.02	0.11	0.08	0.08
5	75	0.73	0.63	0.62	0.62
7	105	0.62	0.58	0.71	0.71
10	150	0.43	0.48	0.41	0.41
20	300	0.59	1.71	0.57	0.57
50	750	0.97	0.97	0.97	0.97



Tablelle dei risultati

Tempi di completamento relativi ad una Workqueue nello Scenario 4

RR	Task	Nws	Linear	Brevik	Hybrid
0.3	5	0	0	0	0
0.5	8	-0.47	-0.47	-0.47	-0.47
0.7	11	4.02	4.02	4.02	4.02
1	15	-1.14	-1.14	-1.14	-1.14
3	45	-0.25	-0.83	-4.92	0.51
5	75	-0.14	-1.35	-0.71	0.08
7	105	-2.26	-2.69	-2.85	-2.34
10	150	3.38	4.75	3.38	4.75
20	300	3.26	3.26	3.26	3.26
50	750	1.27	1.27	-1.17	1.27

